

# Cours 25 - 12/12/2024

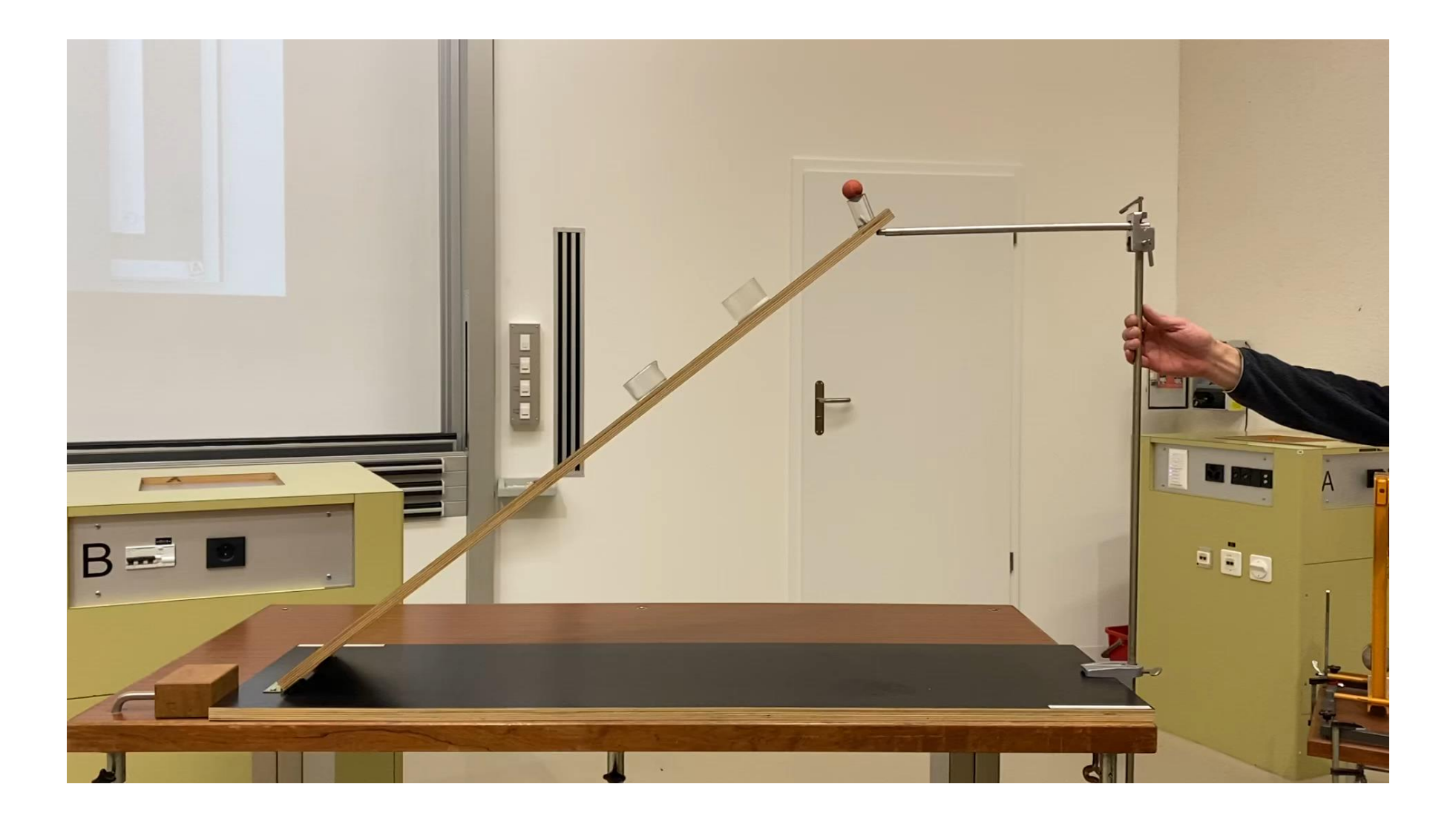
## 11. Applications du solide indéformable

- 11.2. Mise en rotation d'un solide
- 11.3. Moment d'inertie : exemples et applications



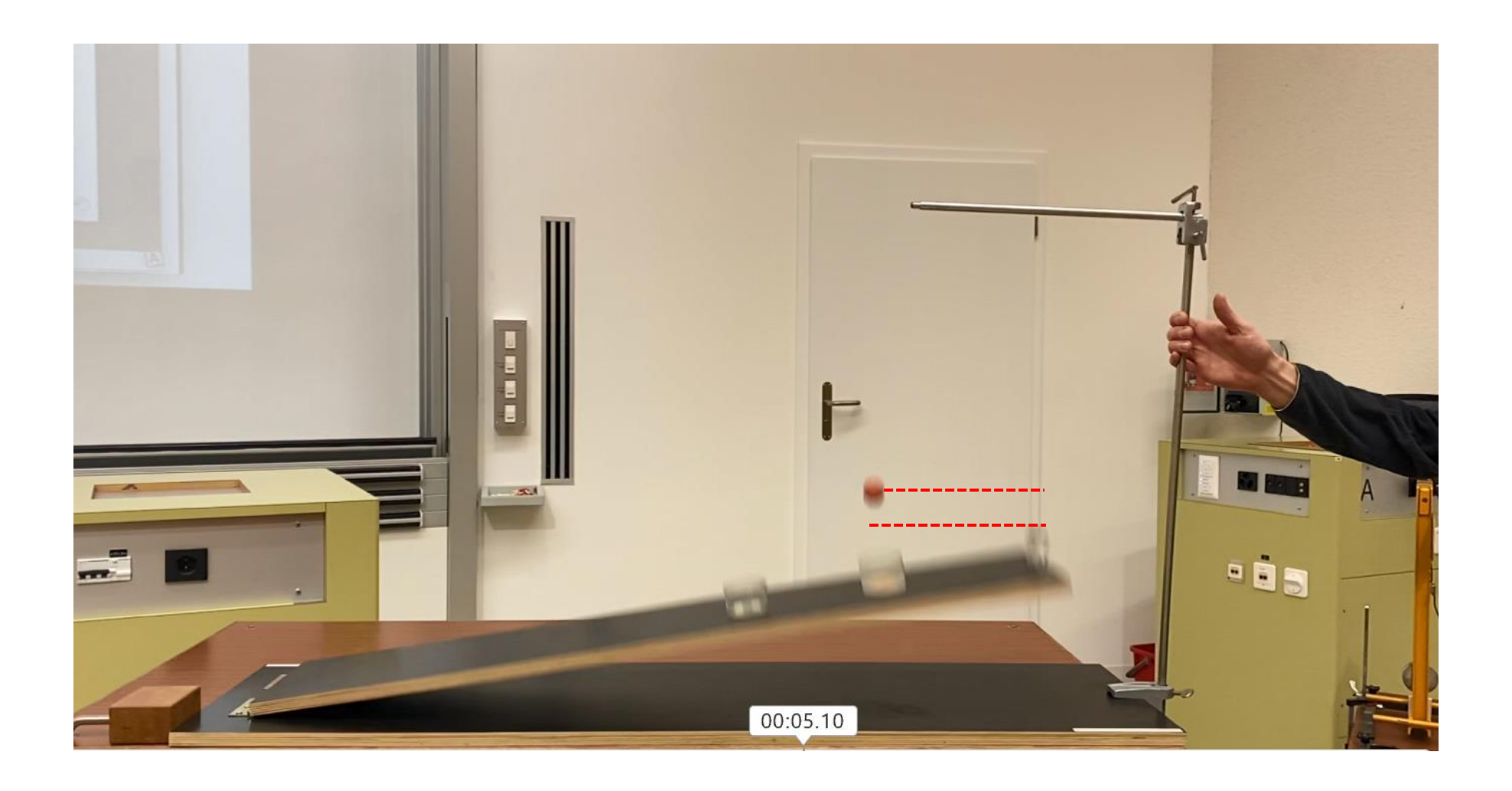


■ Accélération d'une planche qui pivote autour d'un axe





■ Accélération d'une planche qui pivote autour d'un axe





Accélération d'une planche qui pivote autour d'un axe





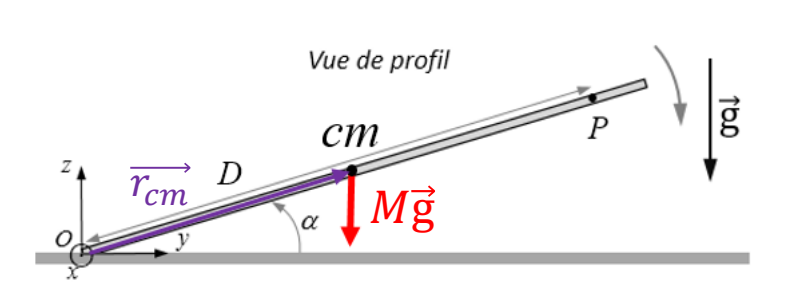


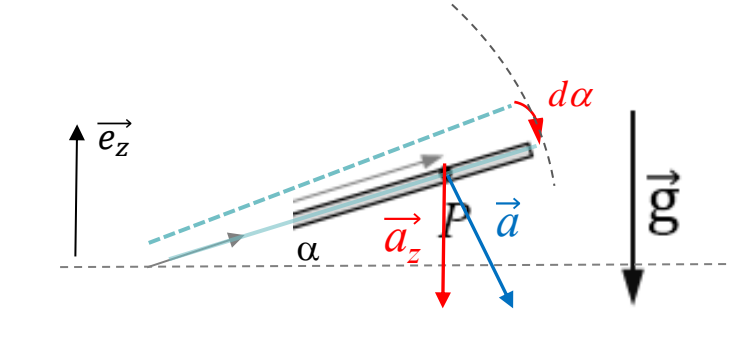
<u>Expérience</u>: une balle (point rouge) repose sur un support au bout d'une planche (marque blanche) qui peut tourner autour d'un axe (point jaune) à l'une de ses extrémités. Lorsque la planche est lâchée, celle-ci pivote et la balle tombe sous l'effet de la pesanteur. On remarque que la balle ne touche plus la planche pendant sa chute et qu'elle arrive au sol après la planche

- ⇒ l'extrémité de la planche (marque blanche) accélère donc plus vite que la balle.
- ⇒ Calcul de l'accélération de l'extrémité de la planche

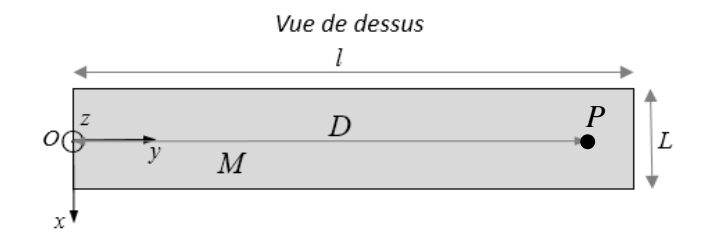


#### Accélération d'une planche qui pivote autour d'un axe





On calcule l'accélération  $\vec{a}$  d'un point P situé à une distance D de l'axe de rotation. Puis on projette cette accélération sur Oz et on la compare à g.



- a) Accélération angulaire  $\dot{\omega}$  quand on lâche la planche (à t=0)
  - Moment du poids  $\overrightarrow{\mathcal{M}_O}$  avec  $\overrightarrow{p} = -Mg \overrightarrow{e_z}$  appliqué au centre de masse (à la distance  $d_{cm} = \frac{l}{2}$ ) :  $\overrightarrow{\mathcal{M}_O} = \overrightarrow{r_{cm}} \times \overrightarrow{Mg}$

$$\overrightarrow{\mathcal{M}_{O}} = \left( d_{cm} \cos \alpha \, \overrightarrow{e_{y}} + d_{cm} \sin \alpha \, \overrightarrow{e_{z}} \right) \times \left( -Mg \, \overrightarrow{e_{z}} \right) = -g \, M \, \frac{l}{2} \cos \alpha \, \overrightarrow{e}_{x}$$

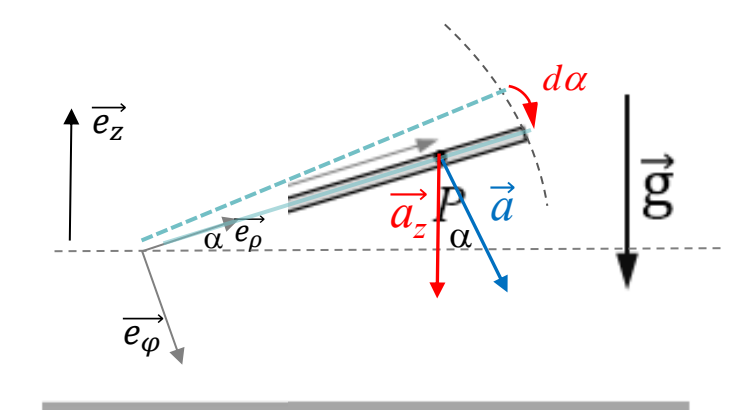
- Théorème du moment cinétique en  $O(\omega)$  la vitesse angulaire selon O(x) avec  $\vec{\omega} = -\omega \vec{e_x}$ :

$$\overrightarrow{\mathcal{L}_{O}} = I\overrightarrow{\omega} = -I\omega\overrightarrow{e_{x}} \quad \text{et} \quad \frac{d\overrightarrow{\mathcal{L}_{O}}}{dt} = \overrightarrow{\mathcal{M}_{O}} \Longrightarrow \frac{d(-I\omega\overrightarrow{e_{x}})}{dt} = -gM\frac{l}{2}\cos\alpha \,\overrightarrow{e_{x}} \Longrightarrow \boxed{\frac{d\omega}{dt} = \dot{\omega} = \frac{Ml}{2I}g\cos\alpha}$$



#### Accélération d'une planche qui pivote autour d'un axe

$$\dot{\omega} = \frac{Ml}{2I} g \cos \alpha$$



b) Composante  $a_z$  à t=0 de l'accélération du point P

$$\vec{a}$$
 en fonction de  $\dot{\omega}$  (coordonnées polaires) :  $\vec{a} = -D\omega^2 \overrightarrow{e_\rho} + D\dot{\omega} \overrightarrow{e_\varphi}$   $\vec{a} = (\ddot{\rho} - \rho\dot{\varphi}^2)\overrightarrow{e_\rho} + (\rho\ddot{\varphi} + 2\dot{\rho}\dot{\varphi})\overrightarrow{e_\varphi}$ 

Au moment où on lâche la planche (t=0) :  $\omega=0$  soit  $\vec{a}=D\dot{\omega}\overrightarrow{e_{\varphi}}$ 

On projette 
$$\vec{a}$$
 sur  $Oz$ :  $a_z = -D\dot{\omega}\cos\alpha$  avec  $\dot{\omega}$  calculé en a):  $a_z = -\frac{Dl}{2I}Mg\cos^2\alpha$ 

Avec le moment d'inertie de la planche 
$$I = \frac{1}{3}Ml^2$$
:  $a_z = -\frac{3D}{2l}g\cos^2\alpha$ 

On remarque que l'accélération augmente avec la distance D

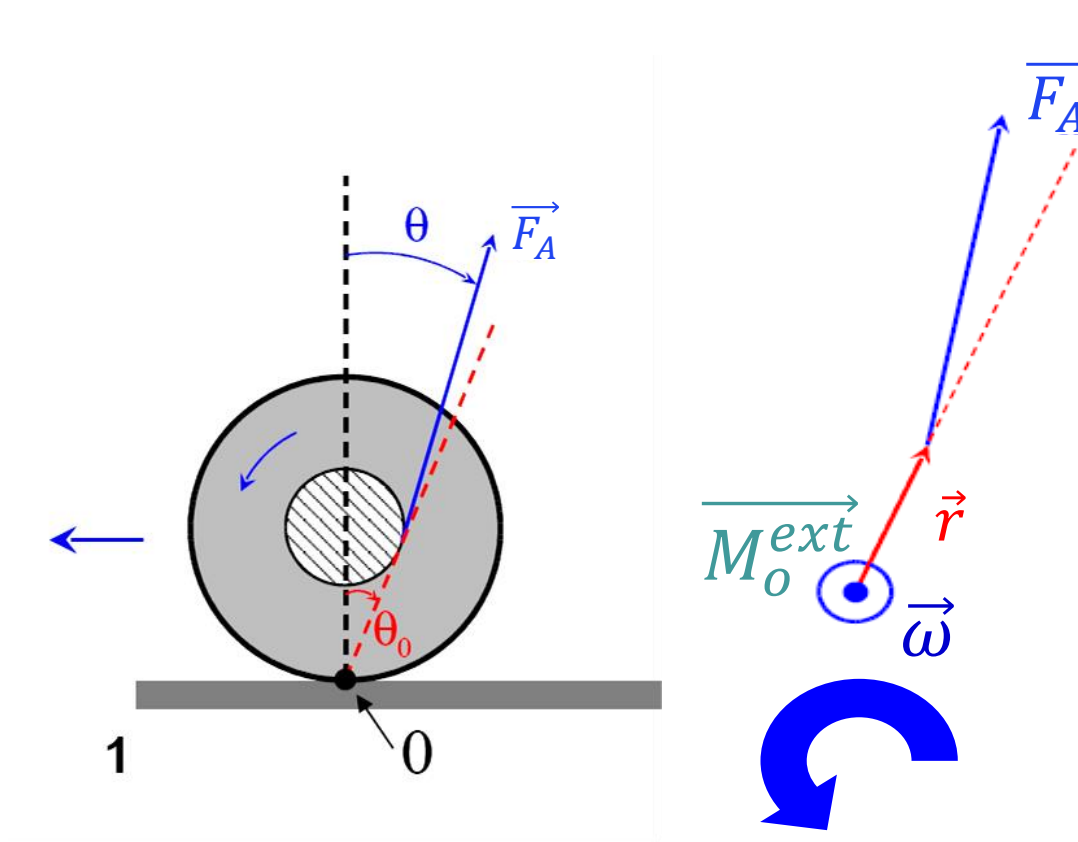
Pour 
$$\alpha = 30^{\circ} \Rightarrow |a_z| > g$$
 pour  $D > \frac{8}{9}l$ 

accélération supérieure à g

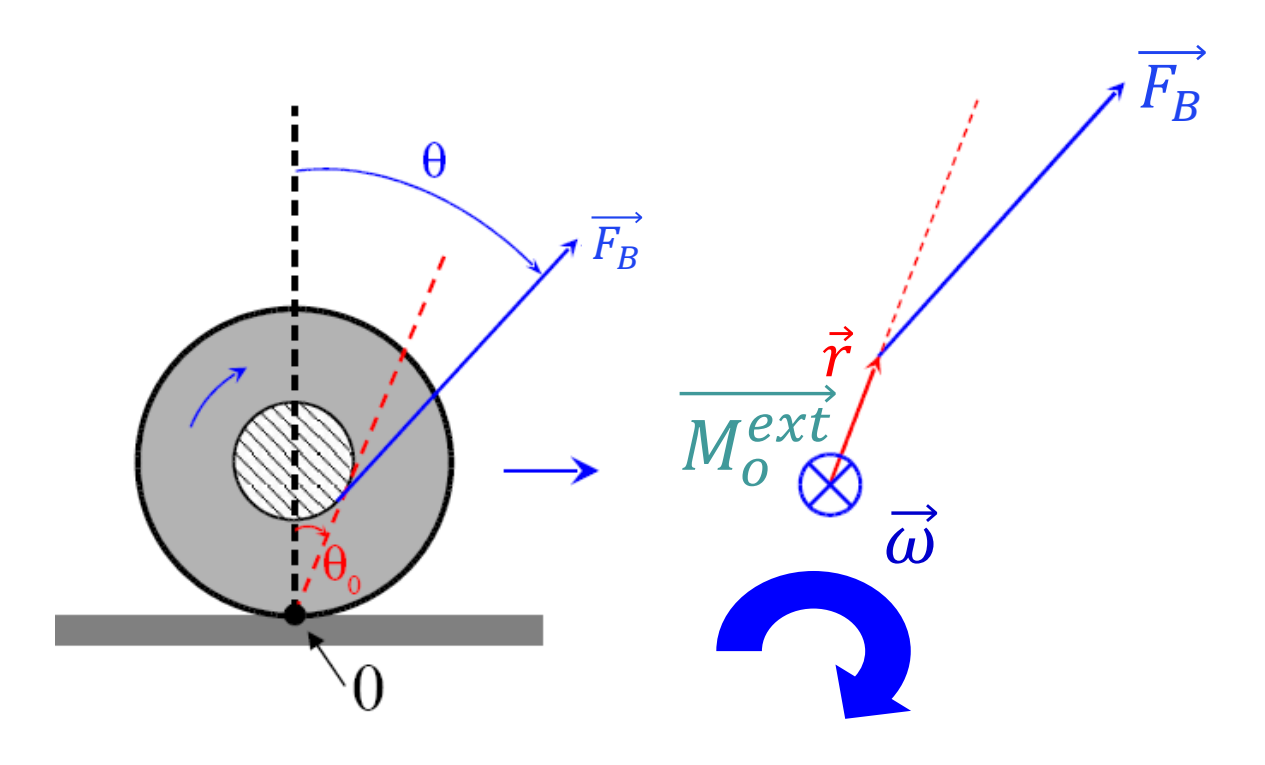


#### ■ Mise en rotation de bobine

Bobine 1, cas 1



Bobine 1, cas 2

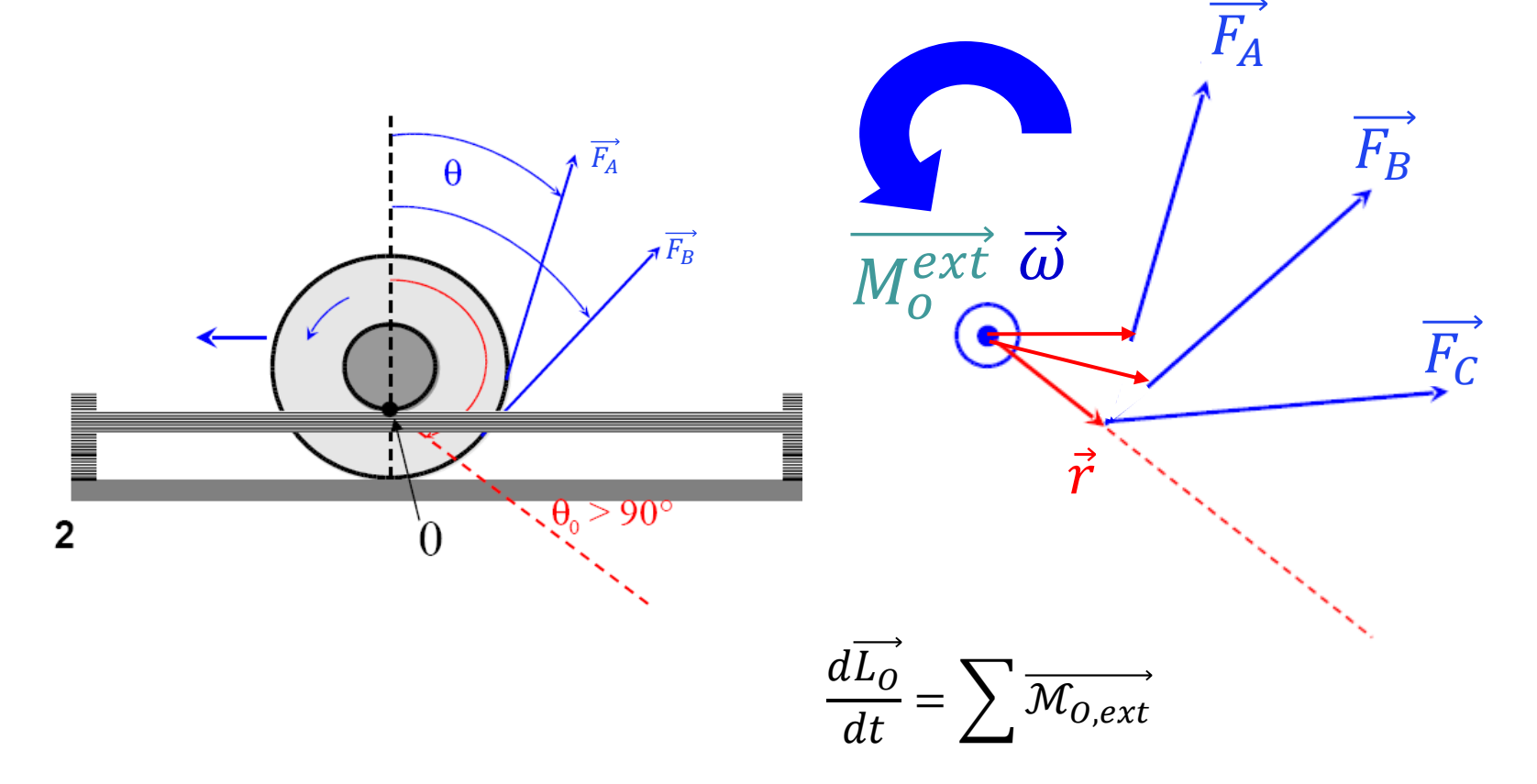


$$\frac{d\overrightarrow{L_O}}{dt} = \sum \overline{\mathcal{M}_{O,ext}}$$



■ Mise en rotation de bobine

Bobine 2, cas 1 et 2

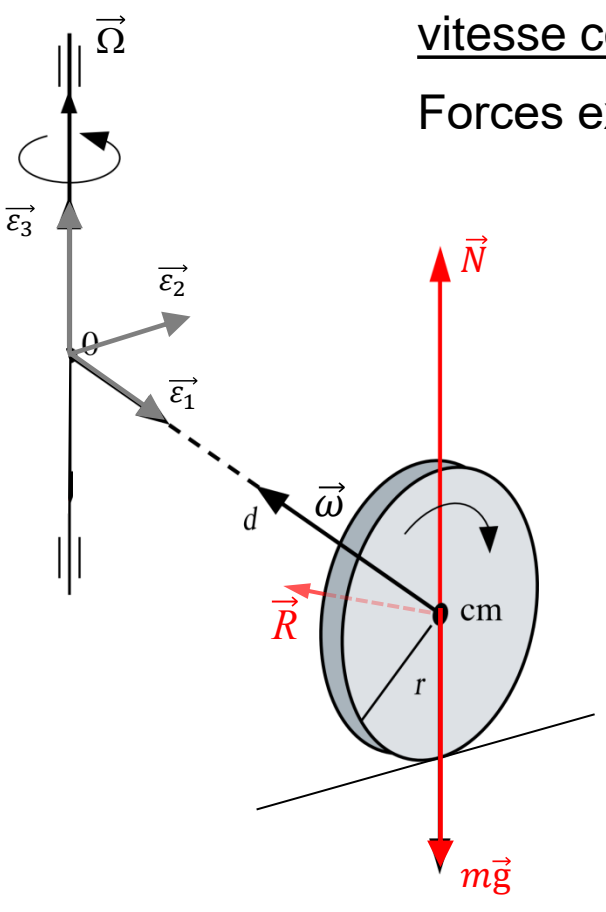




■ Roue en rotation autour d'un axe : la meule

- Une meule en rotation exerce une force supérieure au poids de la roue





La roue de masse m tourne sans glissement à vitesse constante

Forces extérieures qui s'appliquent au centre de masse :

 $\vec{N}$  réaction du sol  $\vec{R}$  force de « rappel »  $m\vec{g}$  le poids

$$m\frac{d\overrightarrow{v_{cm}}}{dt} = \overrightarrow{R} + \overrightarrow{N} + m\overrightarrow{g}$$

On projette dans un repère O,  $\overrightarrow{\epsilon_1}$ ,  $\overrightarrow{\epsilon_2}$ ,  $\overrightarrow{\epsilon_3}$ 

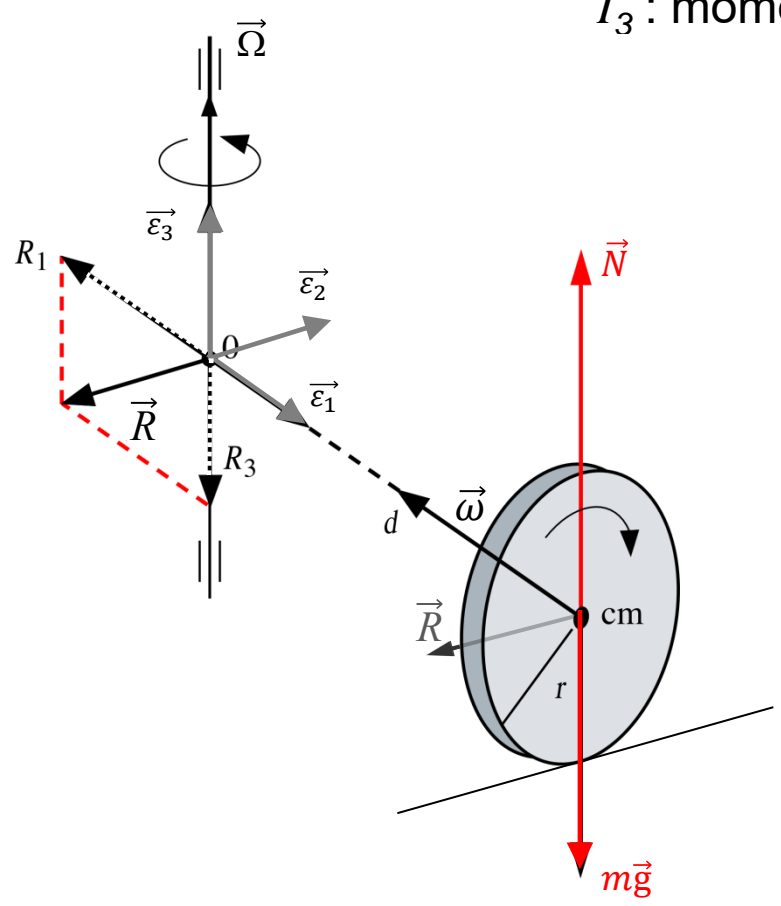
$$-m\Omega^2 d = R_1 \quad \left(a_n = \frac{v^2}{R} = R\omega^2\right)$$
$$0 = R_2$$
$$0 = R_3 + N - mg$$



#### ■ Roue en rotation autour d'un axe : la meule

 $I_1$ : moment d'inertie pour la rotation de la roue autour de  $\varepsilon_1$  (on néglige la tige)

 $I_3$ : moment d'inertie pour la rotation de la roue autour de  $\varepsilon_3$  (on néglige la tige)



$$\begin{split} \frac{d\overrightarrow{L_{O}}}{dt} &= \sum_{i} \overrightarrow{M_{O,i}} \\ \text{et} \quad \overrightarrow{L_{O}} &= -I_{1}\omega\overrightarrow{\varepsilon_{1}} + I_{3}\Omega\overrightarrow{\varepsilon_{3}} \\ & \overrightarrow{L_{O}} &= -I_{1}\omega\overrightarrow{\varepsilon_{1}} = -I_{1}\omega\overrightarrow{\Omega} \ \times \ \overrightarrow{\varepsilon_{1}} = -I_{1}\omega\Omega\overrightarrow{\varepsilon_{2}} \end{split}$$

Forces extérieures pour le système "tige+roue" :  $\vec{N}$  et  $m\vec{g}$  ( $\vec{R}$  est ici une force interne)

$$\overrightarrow{M_0} = d\overrightarrow{\varepsilon_1} \times N\overrightarrow{\varepsilon_3} + d\overrightarrow{\varepsilon_1} \times (-mg)\overrightarrow{\varepsilon_3}$$

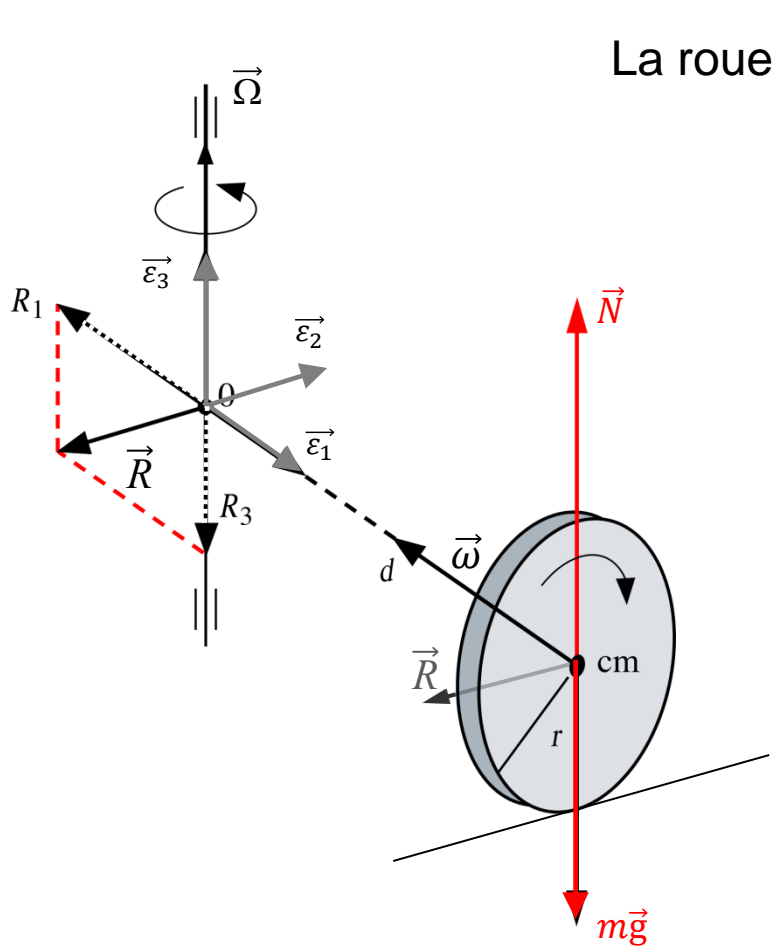
$$\overrightarrow{M_0} = (mg - N)d\overrightarrow{\varepsilon_2}$$

$$\Rightarrow -I_1\omega\Omega\overrightarrow{\varepsilon_2} = (mg - N)d\overrightarrow{\varepsilon_2}$$

$$N = mg + I_1 \frac{\omega \Omega}{d}$$



#### ■ Roue en rotation autour d'un axe : la meule



La distance parcourue pour un tour complet est  $2\pi d$ La roue a quant à elle parcouru la distance  $2\pi r \times \frac{T}{\tau} = 2\pi r \times \frac{\omega}{\Omega}$ 

d'où 
$$2\pi d = 2\pi r \times \frac{\omega}{\Omega}$$

et nous trouvons finalement la relation  $\omega r = \Omega d$ 

nombre de tours

$$\operatorname{avec} I_1 = \frac{1}{2} m r^2$$

$$N = m\left(g + \frac{1}{2}r\Omega^2\right)$$

La force exercée par la roue sur le sol est supérieure au poids de celle-ci

$$\Omega = \frac{2\pi}{1s}, \ r = 0.5 \ m$$

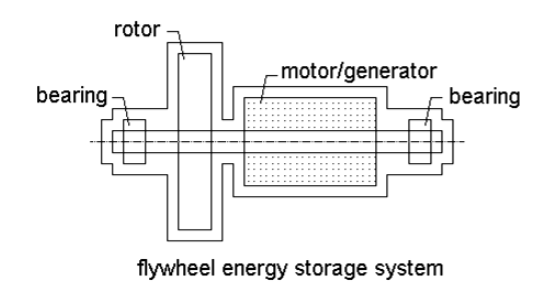
$$N = m (9.81 \ m/s^2 + \pi^2 \ m/s^2) \ soit \ 2 \times le \ poids$$

# 11.3. Moment d'inertie : exemples et applications



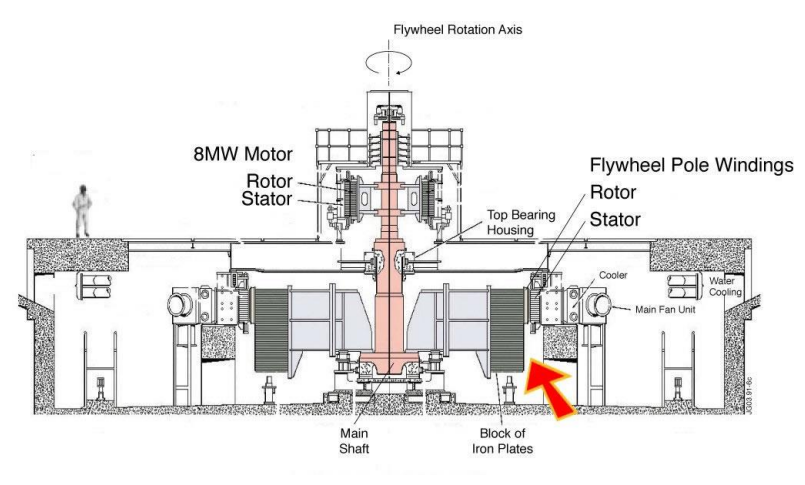
#### ■ Application : stockage de l'énergie

Il est possible de stocker une quantité d'énergie considérable dans un corps solide en rotation



Soit un cylindre de rayon 1,5 m, de longueur 2 m, et de masse volumique  $\rho$  = 10<sup>4</sup> kg/m<sup>3</sup> et qui ralentit de 5000 t/min à 3000 t/min en 1 minute

La puissance générée est de 232 MW (Ville de Lausanne 100-250 MW)





Roue d'inertie « flywheel » utilisée au réacteur de fusion européen JET (UK) pour amorcer le plasma ⇒ très grande puissance électrique fournie en couplant la roue à un générateur électrique.

La roue fait 9 m de diamètre et sa masse est de 775 t Moment

Moment d'inertie: 13,5 million kg.m<sup>2</sup>

# 11.3. Moment d'inertie : exemples et applications



■ Application : stockage de l'énergie

#### Kinetic Energy Recovery System (KERS)

Autorisé sur les voitures de course F1



ω = 80 000 tour/minute Energie stockée max = 400 kJ Puissance max = 60 kW

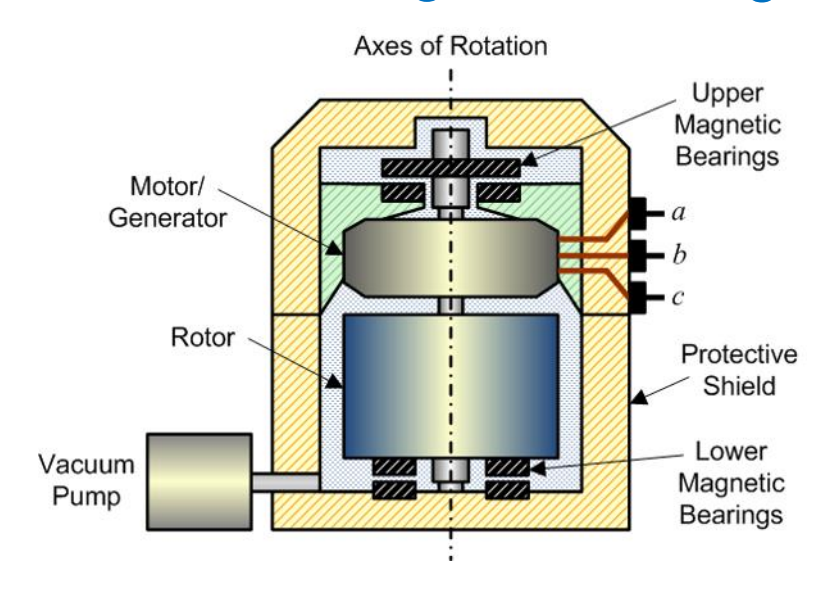


Source: Flybrid Automotive Limited

# 11.3. Moment d'inertie : exemples et applications



#### ■ Application : stockage de l'énergie







satellite



station de stockage